

海岸部の不圧透水層内の長周期波動の伝播について

山口大学 学生員 小川真一

正員 深田三尺

正員 斎藤 隆

— えがき — 海岸付近の地下水は潮汐、波浪によってたえず振動している。波浪による短周期の振動によつて護岸裏へ工事の流出、潮汐による長周期の振動による透水層の振動に伴う被害などの被害がみられる。これらの非定常浸透流を扱う場合、波浪などによる短周期振動における透水係数は場所的、時間的に変化するといわれるよう、定常状態における透水係数をそのまま用いることに疑問がもたれている。また現在の地下水位の測定技術では短周期水位変動の測定の精度には水位測定円柱内への地下水の流入、流出など疑問が残されている。

著者らは上述の観察から深さ 40 cm、平均水深 30 cm、幅 18 cm、長さ 223 cm、平均粒径 $d = 1.0 \text{ mm}$ 、 0.35 mm のモデル砂層を用い、砂層一端の水位変化を一定に保つ。他方水槽の水位を周期 40 ~ 210 分、水位振幅を 3.6 cm ~ 7 cm に変えて実験を行ない、有限深さで、半無限砂層に対する定常振動解と実験結果とを比較検討し、別に定常状態での透水係数を測定した結果と比較検討したものである。定常振動実験での振幅減衰率から逆算した透水係数は、 $d = 1 \text{ mm}$ の砂では定常状態における透水係数と大体一致。 $d = 0.35 \text{ mm}$ の砂については定常状態における透水係数よりも 1 ケた大きい値が得られた。

実験概要

実験装置の概略図を図 1 に示す。このモデル砂層内の地下水位の変化は次の方程式によつてあらわされる。

$$\frac{\partial h}{\partial t} = - \frac{\partial (\eta u)}{\partial x} \quad (1)$$

ここで η は地下水位の高さ、 u は空隙率、 u は鉛直断面内の平均流速をあらわす。上式と Darcy 則より次式を得る。

$$\lambda \frac{\partial h}{\partial t} = \frac{\partial}{\partial x} \left(\eta h \frac{\partial h}{\partial x} \right) \quad (2)$$

この式は非線形な方程式であるが水位変動が小さく砂層が半無限とみなせる場合は次の境界条件のもとで(4)式の定常振動解を得る。

$$\text{境界条件: } h_{x_0} = H + S_0 \cos \omega t, \quad S = \frac{2\pi}{T} \quad (3)$$

$$h = H + S_0 e^{-\alpha x} \cos (\omega t - \alpha x) \quad (4)$$

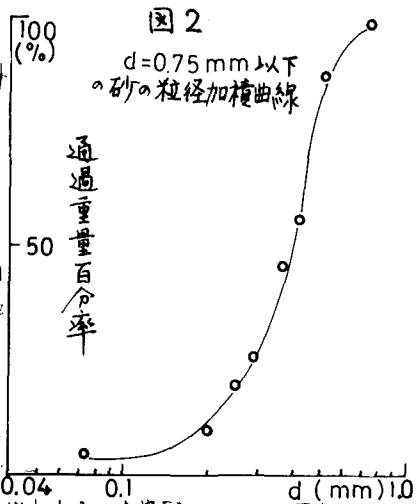
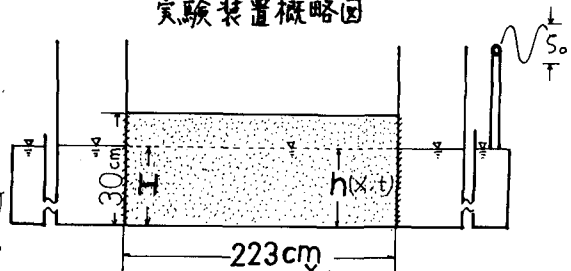
ここで下は周期、 S_0 は与えた変動の振幅、 $\alpha = \sqrt{\frac{2\lambda}{\pi T H}} = \sqrt{\frac{\pi \lambda}{T \rho H}}$ である。

(4)式を用いては間接的に砂層の透水係数を求めることができる。すなわち、砂層内の任意の位置 x_1, x_2 において水位変動の振幅 X_1, X_2 を測定すれば、 $X_1 = S_0 e^{-\alpha x_1}, X_2 = S_0 e^{-\alpha x_2}$ であるからこれより

$$\lambda = \frac{\pi \lambda}{T H} \left(\frac{x_2 - x_1}{\ln X_2 - \ln X_1} \right)^2 \quad (5)$$

を得る。一方位相遅れを求めるこことによっても透水係数を求めることができるが、そのためには各處での水位を連続測定しなければならない。それに較べれば振幅を求めるこことは比較的簡単で精度もよいと思われる。本実験においては振幅のみに着目し解析を行なった。実験に用いた砂は 1.37 mm のふるいと 0.75 mm のふるいの間の 3 mm の砂($d = 1 \text{ mm}$ と呼ぶ)、 0.75 mm のふるいを通過した砂で図 2 で示す粒径加積曲線が得られた砂である($d = 0.35 \text{ mm}$ と呼ぶ)。

図 1
実験装置概略図



砂の透水率は空隙率によって大きく影響をうけると思われ
るが本実験においては締め固めはしなかった。非定常状態 S_0
における透水を調べるのを目的としているため、比較のために上の砂を用いて定水位透水試験を行なった。また定水位
試験においては空隙率が変わることもあるため、定常振動
実験に入る前に同じモデル砂層を用いて定常な状態で水を
流し、透水係数を求めておいた。その結果を表1に示して
おく。水位変動は鉛直にたてたマーメーターによって2.5分
おきに読み取った。このマーメーターは水位変動の比較的大きい/cm²では10cmおきにそれから2mでは20cmおきに設置してある。定常な振動状態を早く得るために砂層内と平均水位にておいてから振動を与えたが数分へ10数分で定常状態に達した。

一実験結果について 透水層の一端に正弦的な水位変動を与えた時の各異なる振中の実測値と図3a, 3bに示す。図3aには $d=1\text{ mm}$ の砂について周期を一定にし、

振中の異なる正弦振動を与えた時の結果が示されており図3bには振中も一定にして周期を変えた時の結果が示されている。また定水位試験で求めた透水係数を用いて(4)式に従う理論曲線も実線で示してある。 $d=1\text{ mm}$ の砂について1m以上離れた透水層内においては振中は指数的に減衰しない。これは透水層の一端で水位を一定にしておることによる影響である。(4)式を導いた仮定を考えるならば周期が短い程そして与えた振幅が小さい程実測値は(4)式に従って減衰する。

ほゞである1mmの砂についてはこれをよく示しており、実際1mまでの領域における振中の減衰率から透水係数を逆算したものは定水位透水試験や、定常状態において求めた透水係数とオーダー的に一致した値が得られている。ところが $d=0.3 = 0.35\text{ mm}$ の砂についてはこれと全く異なる傾向がみられる。定水位試験や定常状態における試験の結果から明らかにこの砂の透水係数は1mmの砂に較べて1/4程度小さい。すなわち水を通しにくい。このことは1mmの砂と同じ実験条件を与えた時更に厳密に(4)式に従って振中は減衰しなくてはならないはずであるが図3bで示すように1mmの砂と同程度で水が浸透していることがわかる。1mまでの領域ではほぼ指数的に減衰していると思われるのでも(5)式に従って透水係数を求めめた。この結果やはり1mmの砂と同程度の透水係数が求められた。データが少くてもう少しすることは言えないが

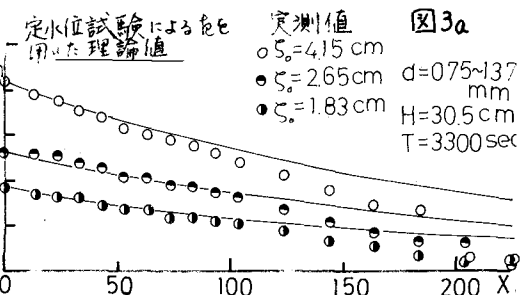


図3a

実測値
 $\circ S_0 = 4.15\text{ cm}$
 $\circ S_0 = 2.65\text{ cm}$
 $\bullet S_0 = 1.83\text{ cm}$
 $d = 0.75 \sim 1.37\text{ mm}$
 $H = 30.5\text{ cm}$
 $T = 3300\text{ sec}$

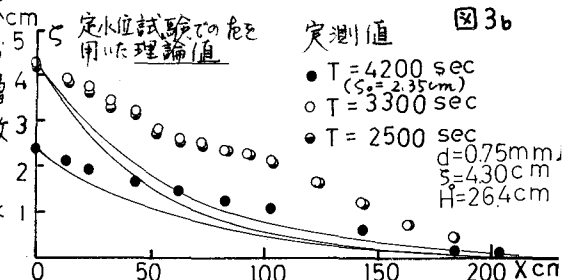


図3b

実測値
 $\bullet T = 4200\text{ sec}$
 $(S_0 = 2.35\text{ cm})$
 $\circ T = 3300\text{ sec}$
 $\bullet T = 2500\text{ sec}$
 $d = 0.75\text{ mm}$
 $S_0 = 4.30\text{ cm}$
 $H = 26.4\text{ cm}$

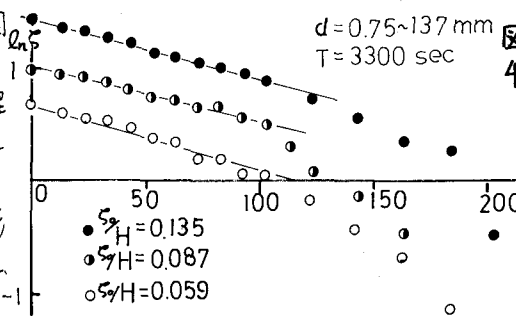


図4

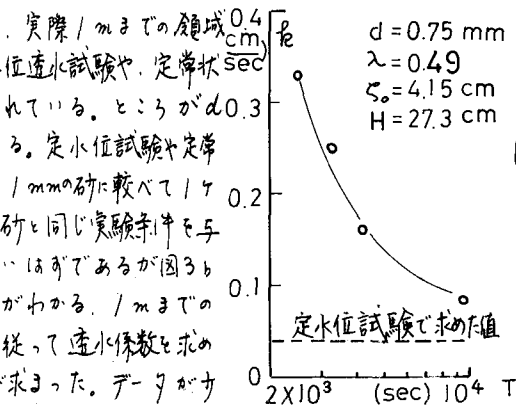


図5

Table 1

砂の種類	実験水槽で求めた λ	定水位透水試験で求めた λ	(5)式によつて求めた λ
粒径 1.37 mm ～ 0.75 mm	$8.50 \times 10^{-1} \frac{\text{cm}}{\text{sec}}$	$5.45 \times 10^{-1} \frac{\text{cm}}{\text{sec}}$	$5.00 \times 10^{-1} \frac{\text{cm}}{\text{sec}}$
粒径 0.75 mm 以下の砂	$6.00 \times 10^{-2} \frac{\text{cm}}{\text{sec}}$	$3.77 \times 10^{-2} \frac{\text{cm}}{\text{sec}}$	$3.70 \times 10^{-2} \frac{\text{cm}}{\text{sec}}$

与える振中が小さい程(4)に従うこと
は1mmの砂と同様のようであるが、こ
んでは周期が短い程よく水が浸透し
ていくという結果が得られた(図5)

参考文献 藤東一郎 水理学 II P.254 森北出版